

給電 位相差에 의한 슈우파 게인 안테나의 指向性 調整 研究 (Adjustment of the Directivity of Super Gain Antenna by Phase Difference of the Feeding Points)

金俊俊*, 朴禪基**

(Min Joon Kim and Cheong Kee Park)

要 約

難・視聽地域 解消를 위한 小出力 放送局의 出力 增加時 同一 채널의 다른 放送局과의 混信을 막기 위하여 方向의 電界 強度를 감소시켜야 할 경우 現在 안테나에 對한 指向性 調整이 不可避하게 되는 것이다.

本研究는 그나한 경우 단지 給電線의 경이에 따른 給電點의 位相調整에 의하여 일의 方向에 對한 電界 強度를 調節하는 方法에 대하여 研究한 것이다.

Abstract

Both the power increasing of a television broadcasting channel for the purpose of minimizing weak signal areas and depressing of radiation pattern to prevent some interference in known quadrants may be needed in TV broadcasting.

This study shows that, the two needs mentioned above are solvable by adjusting the phases of feeding points, or redesigning the lengths of feeder lines between transmitter output and feeder inputs in super gain antenna.

A theoretical study on lengths of coaxial cables and a practical procedure of designing cable lengths, which is simple and inexpensive to apply, is presented.

I. 序 論

VHF 텔레비전 방송에 있어서 주로 사용되는 대형 송신 안테나는 전파를 확산시키면서 사용되고 있다.

슈우파 게인 안테나에 있어서는 1波長 以上, 1波長 以下の 디아볼리파니아 반사판을組合하여 각面의 디아볼리 반사판 반사판의 中心에 각각으로 약간 偏移시키는 水平 方向의 全方向性을 最適 狀態로維持하는 垂直面內의 指向性을 높이기 위하여 여러段을 주작으로 配列하고 있다.^{[1], [2]}

이와 같은 슈우파 게인 안테나에 있어서特定方向의 電界 強度를 留保하기로維持하고 다른 方向의 電界 強度를 増加시키는 方法에는 方向別 나이플의 給電電力を 变更하는 方法과 反射板의 傾斜을 조정하는 方法^[3] 등이 있으나 이전한 方法들은 工事費와 工期가 増加할 뿐 아니라 後者の 경우에는 미생상도 좋지 않다.

本論文에서는既存各나이플에 增加된 創一의 給電電力を 給電하면서 단지 給電線의 位相調整만으로願하는 方向의 電界 強度만을 增大시킬 수 있는지의 問題에 대하여 考察 研究한 것이다.

垂直面內의 차향성을 알맞게 上向시키기 위한 각段의 最適 位相角은 数次의 컴퓨터 計算이 의해서一定한 다음 각段의 分配器(junction box) 까지의 給電線의 조이와 이分配器들로 부터 각나이플 안테나까지의

*準會員, **正會員, 高麗大學校 工科大學 電子工學科
(Korea Univ., Dept. of Elec. Eng.)

接受日字: 1982年 3月 9日

給電線의 길이를 위의 목적에 맞게 계산, 設計함으로서 實用可能한 設計法을 얻었다.

II. 水平指向性에 관한 考察 및 슈우퍼 게인 안테나의 水平面內의 指向性

反射板은 그림 1(b)와 같이 안테나를 정방형 단면의 첨탑 주위에 배열하고, 대칭하는 안테나 소사간의 位相이 서로 90° 씩 다르게 給電한 것을 垂直으로 多段 配列한 슈우퍼 게인 안테나의 구조는 그림 1과 같으며 그림 2에서 電流 I_1 과 그 影像에 依한 電界 E_{11}' 및 電流 I_2 와 그 影像에 依한 電界 E_{22}' 는 각각

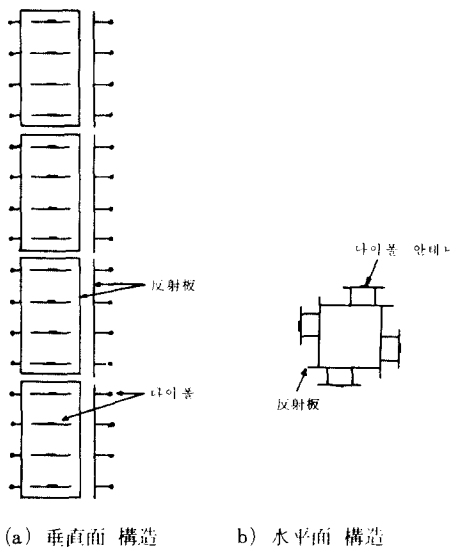


그림 1. 슈우퍼 게인 안테나의 구조

Fig.1. Construction of the super gain antenna.

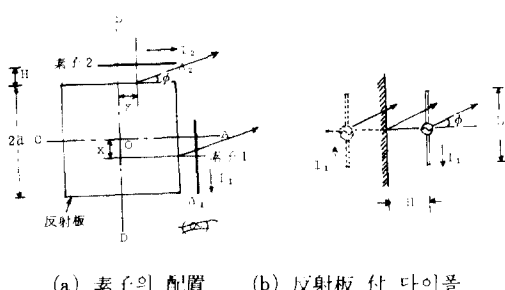


그림 2. 슈우퍼 게인 안테나의 水平面構造

Fig.2. A horizontal-plane construction of the super gain ant.

$$\begin{aligned} E_{11}' &= E_1 e^{jkh \cos \phi} - E_1 e^{-jkh \cos \phi} \\ &= j2E_1 \sin(kh \cos \phi) \end{aligned}$$

$$= j2I_1 \frac{\cos\left[\frac{\pi L}{\lambda} \sin \phi\right] - \cos\frac{\pi L}{\lambda}}{\cos \phi} \cdot \sin(kh \cos \phi)$$

$$= j2I_1 A_1 \quad (1)$$

$$E_{22}' = j2I_2 \frac{\cos\left[\frac{\pi L}{\lambda} \sin \phi\right] - \cos\frac{\pi L}{\lambda}}{\sin \phi} \cdot \sin(kh \sin \phi)$$

$$= j2I_2 A_2 \quad (2)$$

와 같이 되며^[4] 그림 2(a)에서 I_1 과 I_2 가 同位相일 때 原點에 대한 I_1 과 I_2 의 位相差 Φ_1 , Φ_2 :

$$e^{jkh \cos \phi - x \sin \phi} = e^{j\Phi_1}$$

$$e^{jkh \sin \phi - x \cos \phi} = e^{j\Phi_2} \quad (3)$$

이 됨을 알 수 있으므로 전류 I_1 과 I_2 에 依한 제 1 상한 대의 合成電界 E :

$$E = E_{11}' + E_{22}'$$

$$= j2|I_1|A_1 e^{j\Phi_1} + j2|I_2|A_2 e^{j\Phi_2}$$

와 같아진다.

여기서 $|I_1| = |I_2| = |I|$ 라면

$$E = j2|I|A_1 + A_2 e^{j(\Phi_2 - \Phi_1)} \quad |$$

$$= j2|I|A_1 + A_2 e^{-j\Phi_1} \quad |$$

$$\text{이 } \Phi := \Phi_2 - \Phi_1$$

가 되며 제 1 상한대의 합성된 指向性 A 는 式(4)로 부터

$$A = |A_1 + A_2 e^{-j\Phi}|$$

$$= A_1 + A_2 \cos \Phi - jA_2 \sin \Phi \quad (5)$$

가 된다. 따라서

$$|A| = |A_1|^2 + A_2^2 + 2A_1 A_2 \cos \Phi|^{\frac{1}{2}} \quad (6)$$

그러므로 2개는 같고 위상이 다른 두 전류 I $\angle \delta_1$

$I \angle \delta_2$ 에 의한 合成電界 $E(\delta)$ 는

$$E(\delta) = j2|I|(A_1 e^{j\sigma_1} + A_2 e^{j(-\delta_2 + \sigma_2)}) \quad |$$

$$= j2|I|e^{j\sigma_1}(A_1 + A_2 e^{-j(\delta_2 - \sigma_2)}) \quad (7)$$

$$\text{이 } \delta = \delta_2 - \delta_1 \quad (8)$$

가 되며 이 경우의 차향성의 절대값 $|A(\delta)|$ 는

$$|A(\delta)| = |A_1|^2 + A_2^2 + 2A_1 A_2 \cos(\Phi + \delta)|^{\frac{1}{2}} \quad (9)$$

이 된다. 따라서 각 나이프 사이의 位相差가 90° 인 그림 3의 경우는 $\delta = 90^\circ$ 이어서 AOB 象限內의 水平指向性는

$$\begin{aligned} |A(\delta)| &= |A_1|^2 + A_2^2 + 2A_1 A_2 \cos(\Phi + 90^\circ)|^{\frac{1}{2}} \\ &= |A_1|^2 + A_2^2 + 2A_1 A_2 \sin \Phi|^{\frac{1}{2}} \quad (10) \end{aligned}$$

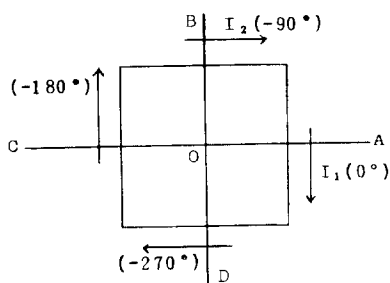


그림3. 水平面内 各 素子 位相角

Fig. 3. Phase angles of each element in the horizontal-plane.

이 되니,

BOC, COD, DOA 象限內의 水平 指向性도 求할 수 있으므로 결국 4 개의 나이들에 의한 그림 4 와 같은 全方向 指向性도 알게 된다.

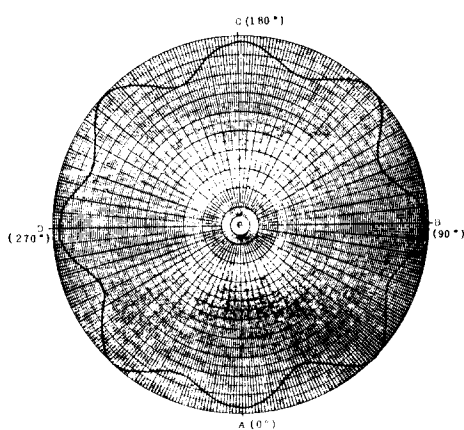


그림4. 슈우퍼 게인 안테나의 水平面内 指向性

Fig. 4. Directivity of super gain antenna in the horizontal-plane.

III. 垂直 指向性 式의 誘導過程 및 垂直面內의 指向性

1. 垂直 指向性 式의 誘導

그림 5에서 각段에 依한 제 1면의 垂直方向(종이 위에서 약으로 向하는 方向)에 대한 垂直 배달식 B_n

$$B_n = \frac{\sin(\frac{4}{\lambda}ks \sin \theta)}{\sin(\frac{1}{\lambda}ks \sin \theta)} \cdot \sin(kh \cos \theta) \quad (11)$$

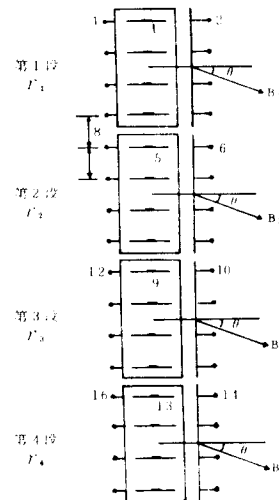


그림5. 슈우퍼 게인 안테나의 垂直面 構造

Fig. 5. Construction of the vertical-plane in super gain antenna.

단, $n = 1, 2, 3, 4$

⑤ 式의 $\frac{1}{\lambda}$ 각段의 位相角이 $\gamma_1, \gamma_2, \gamma_3, \gamma_4$ 라고 하다면 4 대 전체에 의한 제 1면 대의 垂直 배달식 $D(\theta)$ 는

$$\begin{aligned} D(\theta) &= B_1 e^{j\gamma_1} + B_2 e^{j(4ks \sin \theta + \gamma_2)} + B_3 e^{j(8ks \sin \theta + \gamma_3)} \\ &\quad + B_4 e^{j(12ks \sin \theta + \gamma_4)} \\ &= B_1 + B_2 \cos(4ks \sin \theta + \gamma_2 - \gamma_1) + \\ &\quad + B_3 \cos(8ks \sin \theta + \gamma_3 - \gamma_1) \\ &\quad + B_4 \cos(12ks \sin \theta + \gamma_4 - \gamma_1) \\ &\quad + j[B_2 \sin(4ks \sin \theta + \gamma_2 - \gamma_1) \\ &\quad + B_3 \sin(8ks \sin \theta + \gamma_3 - \gamma_1) \\ &\quad + B_4 \sin(12ks \sin \theta + \gamma_4 - \gamma_1)] \quad (12) \end{aligned}$$

과 같고 그 절대값 $|D(\theta)|$ 는

$$\begin{aligned} |D(\theta)| &= [B_1^2 + B_2^2 + B_3^2 + B_4^2 + 2B_1 B_2 \cos \\ &\quad \left\{ \frac{2\pi}{\lambda} 4s \sin \theta + \gamma_2 - \gamma_1 \right\} \\ &\quad + 2B_1 B_3 \cos \left\{ \frac{2\pi}{\lambda} 8s \sin \theta + \gamma_3 - \gamma_1 \right\} \\ &\quad + 2B_1 B_4 \cos \left\{ \frac{2\pi}{\lambda} 12s \sin \theta + \gamma_4 - \gamma_1 \right\} \\ &\quad + 2B_2 B_3 \cos \left\{ \frac{2\pi}{\lambda} 4s \sin \theta + \gamma_3 - \gamma_2 \right\} \\ &\quad + 2B_2 B_4 \cos \left\{ \frac{2\pi}{\lambda} 8s \sin \theta + \gamma_4 - \gamma_2 \right\} \end{aligned}$$

$$+2B_3B_4 \cos\left(\frac{2\pi}{\lambda}4s \sin\theta + \gamma_4 - \gamma_3\right) \Big|^{-\frac{1}{2}} \quad (13)$$

로 주어진다.

여기서 $B_1=B_2=B_3=B_4$, $B_n=B$ 라면 式(13)은

$$\begin{aligned} |D(\theta)| = B & \Big| 4 + 2 \cos\left(\frac{2\pi}{\lambda}4s \sin\theta + \gamma_2 - \gamma_1\right) \\ & + 2 \cos\left(\frac{2\pi}{\lambda}8s \sin\theta + \gamma_3 - \gamma_1\right) \\ & + 2 \cos\left(\frac{2\pi}{\lambda}12s \sin\theta + \gamma_4 - \gamma_1\right) \\ & + 2 \cos\left(\frac{2\pi}{\lambda}4s \sin\theta + \gamma_3 - \gamma_2\right) \\ & + 2 \cos\left(\frac{2\pi}{\lambda}8s \sin\theta + \gamma_4 - \gamma_2\right) \\ & + 2 \cos\left(\frac{2\pi}{\lambda}4s \sin\theta + \gamma_4 - \gamma_3\right) \Big|^{-\frac{1}{2}} \end{aligned}$$

가 된다. (14)

2. 슈우파 케인 안테나의 垂直指向性

實際 안테나에 있어서는 그 垂直面內 指向性이 약간水平面에서 아래 쪽을 향하게 하고 또 null點을 없애기 위하여 각段의 位相角을

$$\gamma_1 = -30^\circ, \gamma_2 = -10^\circ, \gamma_3 = 10^\circ, \gamma_4 = -60^\circ \quad (15)$$

와 같이 取하고 있다. 따라서 그 指向性은

$$\begin{aligned} |D(\theta)| = & \frac{\sin\left(\frac{4}{2}ks \sin\theta\right)}{\sin\left(\frac{4}{2}ks \sin\theta\right)} \cdot \sin(kh \cos\theta) \cdot \Big| 4 \\ & + 2 \cos\left(\frac{2\pi}{\lambda}4s \sin\theta + 20^\circ\right) \\ & + 2 \cos\left(\frac{2\pi}{\lambda}8s \sin\theta + 40^\circ\right) \\ & + 2 \cos\left(\frac{2\pi}{\lambda}12s \sin\theta - 30^\circ\right) \\ & + 2 \cos\left(\frac{2\pi}{\lambda}4s \sin\theta + 20^\circ\right) \Big|^{-\frac{1}{2}} \end{aligned}$$

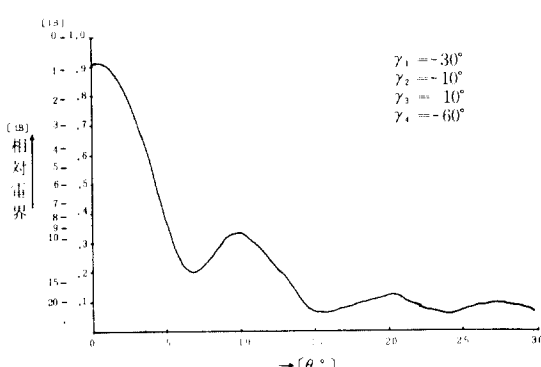


그림6. 슈우파 케인 안테나의 垂直 패턴

Fig. 6. Vertical pattern of the super gain antenna.

$$+ 2 \cos\left(\frac{2\pi}{\lambda}8s \sin\theta - 50^\circ\right)$$

$$+ 2 \cos\left(\frac{2\pi}{\lambda}4s \sin\theta - 70^\circ\right) \Big|^{-\frac{1}{2}} \quad (16)$$

式에 의하여 그림6과 같이 計算된다.

IV. 패턴 調整

(14)式에 서 $\gamma_1 = \gamma_2 = \gamma_3 = \gamma_4 = \gamma$ 일 때의 指向性 즉, $D(\theta)_{max}$ 는

$$D(\theta)_{max} = \frac{\sin\left(\frac{16}{2}ks \sin\theta\right)}{\sin\left(\frac{12}{2}ks \sin\theta\right)} \cdot \sin(kh \cos\theta) \quad (17)$$

이 되며 그림5의 1面의 총 다이폴에 의한 水平 方向의 指向性 즉, $D(\theta)_{max, \theta=0}$ 의 값은 15.735로 계산되었다. 여기서 각각 各面의 給電 電力은 2倍로 하되 南東 方向에 對한 $\theta = 0^\circ$ (水平) 方向의 電界強度를 3dB 감소시켜야 한다. 이를 위해서 垂直 패턴을 3° 각각 공중으로 옮길 것을 생각한다. 그러기 위해서는 그림5에서 윗段으로 갈수록 位相角을 늦추면 될 것이므로 제3段을 기준으로 해서 제2단, 제1단을 같은 각도씩 늦추면 제4단의 位相角은 null方向을 없애기 위해 다른 값으로 할 것을 염두에 두다.

數次의 計算 단계 끝에

$$\gamma_1 = -11^\circ, \gamma_2 = -50^\circ, \gamma_3 = 10^\circ, \gamma_4 = -10^\circ \quad (18)$$

따라서 $\gamma_2 - \gamma_1 = 60^\circ, \gamma_3 - \gamma_1 = 120^\circ, \gamma_4 - \gamma_1 = 100^\circ, \gamma_3 - \gamma_2 = 60^\circ, \gamma_4 - \gamma_2 = 40^\circ, \gamma_4 - \gamma_3 = -20^\circ$ 를 얻었다. 위와같은 위상각을 제1面(南面), 제2面(東面)에 주었을 때 이 方向의 垂直 패턴 式은 式(14)에 의해

$$\begin{aligned} D(\theta) & \frac{\sin\left(\frac{4}{2}ks \sin\theta\right)}{\sin\left(\frac{4}{2}ks \sin\theta\right)} \cdot \sin(kh \cos\theta) \cdot \Big[4 \\ & - 2 \cos\left(\frac{2\pi}{\lambda}4s \sin\theta + 60^\circ\right) + \\ & - 2 \cos\left(\frac{2\pi}{\lambda}8s \sin\theta + 120^\circ\right) \\ & + 2 \cos\left(\frac{2\pi}{\lambda}12s \sin\theta + 100^\circ\right) \\ & + 2 \cos\left(\frac{2\pi}{\lambda}4s \sin\theta + 60^\circ\right) \\ & + 2 \cos\left(\frac{2\pi}{\lambda}8s \sin\theta + 40^\circ\right) \\ & - 2 \cos\left(\frac{2\pi}{\lambda}4s \sin\theta - 20^\circ\right) \Big] \end{aligned} \quad (19)$$

와 같이 求해지며 이 $D(\theta)$ 값을 式(17)의

$$D(\theta)_{max, \theta=0} = 15.735 \quad (20)$$

로 표준화하면 그림 7과 같은 修訂된 垂直 波瓣을 얻을 수 있다.

1. 給電 케이블의 길이에 對한 考察

南東 方向에 對한 $\theta=0^\circ$ 方向의 電界 強度是 3dB 減少시키기 위해서 南東(1, 2)面의 各段에 대해서 式(18)의 位相角을 갖게 하고 北西(3, 4)面의 各段에 對한 位相角으로서는 式(15)의 값은 갖게 해야 한다.

이 두 관계를 同時に 만족하는 給電線의 길이를 求하기 위해서 各段, 各面의 給電點까지의 길이에 比例하는 位相 遲延角을 그림 8 (a)와 같이 나타내 보는 것이 바람직하다.

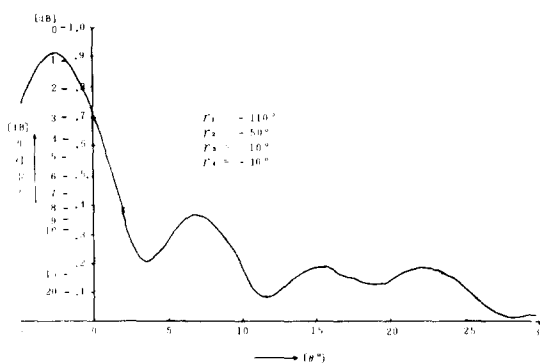


그림7. 修訂된 1, 2面의 垂直 波瓣

Fig.7. Vertical pattern of modified plane (1st & 2nd).

그림8 (a)에서 (b)로의 移動는 잘理解할 수 있을 것이다. 세 3段을 基準으로 取한 경우인 만큼 그림(b)에서의 세 3段에 對한 位相 遲延角은 그림(a)의 그것과 같다. 그림8 (c)는 그림8 (b)에서 -70° 에 해당하는 地點은 0° 로 한 것이다. 즉,

$\gamma_1 = -120^\circ$, $\gamma_2 = -60^\circ$, $\gamma_3 = 0^\circ$, $\gamma_4 = -20^\circ$ (21)
의 관계이다. 이(c) 図 및 (21)式에서 基準인 세 3段의 給電點에 대한 給電線의 길이보다는 세 1, 세 2, 세 4段의 給電線의 길이를 각각 $|\gamma_1|$, $|\gamma_2|$, 및 $|\gamma_4|$ 쪽의 위상 시연을 繼연을 걸어 한면면 결국 그림7과 같이 南東面의 電界만을 3dB 減少시킬 수 있을 것이다. 또 그림8 (c)로부터 各段의 junction box에서 세 1面의 素子들에 對한 給電線의 길이를 0으로 取한 2, 3, 4面上의 素子들에 對한 給電點까지의 給電線의 길이에 대응하는 各段, 各面의 相對 距離 (δ) 는 (22)~(25)式과 같이 表示된다.

제 1段	제 1面	0°
	제 2面	-90°
	제 3面	-100°
	제 4面	-190°

제 2段	제 1面	0°
	제 2面	-90°
	제 3面	-140°
	제 4面	-230°

제 3段	제 1面	0°
	제 2面	-90°
	제 3面	-180°
	제 4面	-270°

$$(24)$$

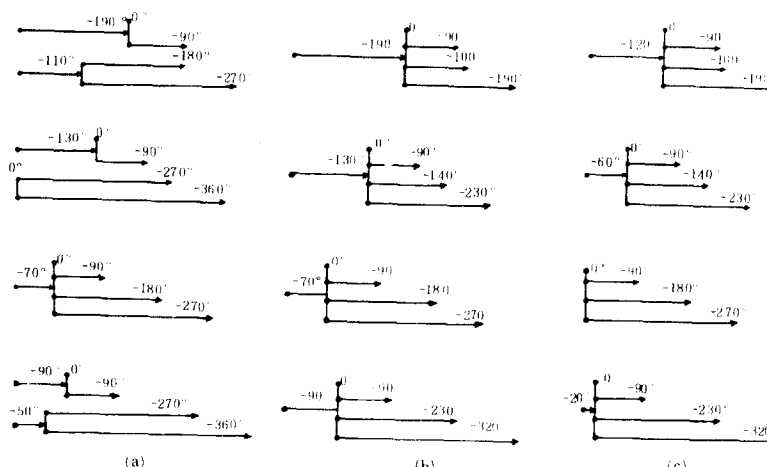


그림8. 給電 케이블의 길이 調整

Fig.8. Adjustment on the lengths of feeder lines.

제 4 段	제 1 面	0°
	제 2 面	-90°
	제 3 面	-230°
	제 4 面	-320°

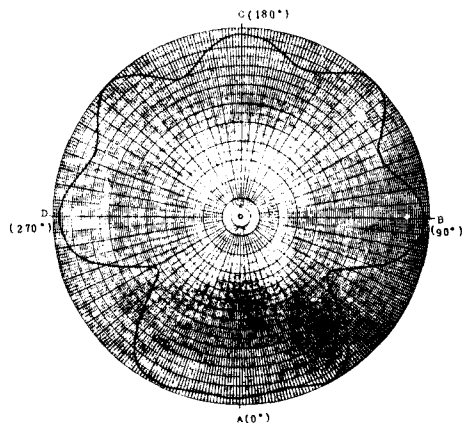
(25)

2. 水平 패턴

(1), (2)식의 A_1, A_2 의 값을 수평 패턴식(9)에 대입하고 이 式의 δ 값으로 式(22)~(25)의 값들을 대입하여修訂된 각 상한별 수평 패턴식을 ϕ 의 함수로 나타내면 다음과 같다.

1) 제 1段의 수평 패턴

式(23)의 位相角으로 부터



(a) 第 1 段의 水平 패턴

(a) The horizontal-plane pattern of the first stage.

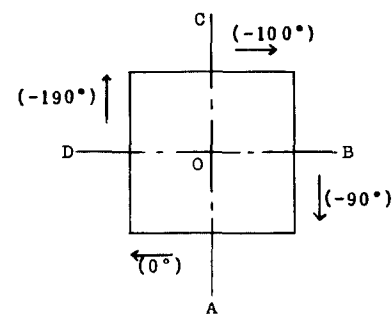
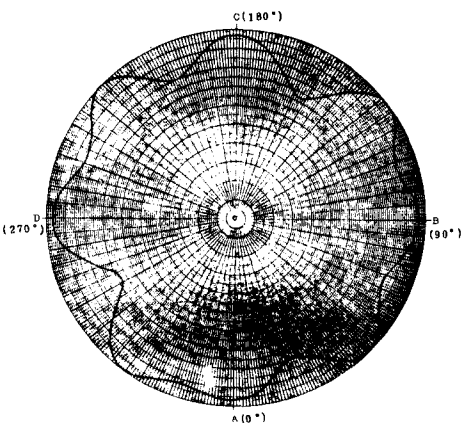


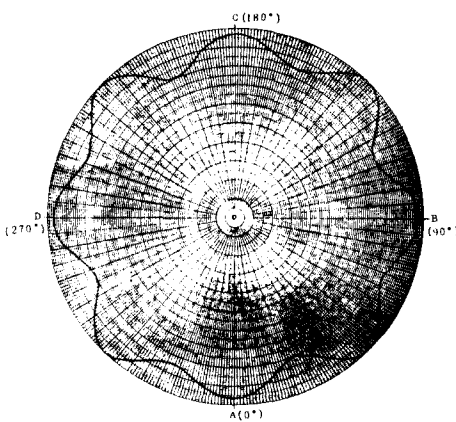
그림9. 제 1段의 素子 位相角

Fig. 9. Phase angles of each element on the first stage.



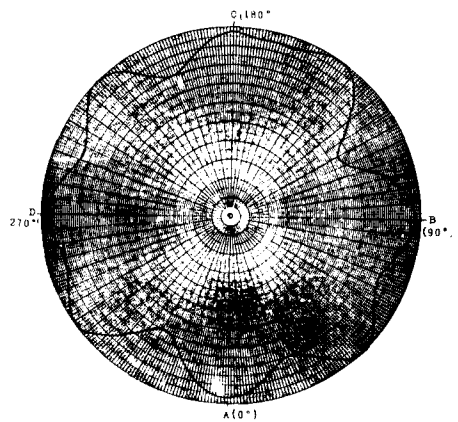
(b) 第 2 段의 水平 패턴

(b) The horizontal-plane pattern of the second stage.



(c) 第 3 段의 水平 패턴

(c) The horizontal-plane pattern of the third stage.



(d) 第 4 段의 水平 패턴

(d) The horizontal-plane pattern of the fourth stage.

그림 10.

Fig. 10.

AOB상한 :

$$D(\phi) = [A_1^2 + A_2^2 + 2A_1A_2 \cos(\phi + 90^\circ)]^{\frac{1}{2}}$$

BOC상한 :

$$D(\phi) = [A_1^2 + A_2^2 + 2A_1A_2 \cos(\phi + 10^\circ)]^{\frac{1}{2}}$$

COD상한 :

$$D(\phi) = [A_1^2 + A_2^2 + 2A_1A_2 \cos(\phi + 90^\circ)]^{\frac{1}{2}}$$

DOA상한 :

$$D(\phi) = [A_1^2 + A_2^2 + 2A_1A_2 \cos(\phi + 170^\circ)]^{\frac{1}{2}}$$

i) 되며 그 水平 패턴은 그림10 (a)와 같다.

2) 제 2段의 水平 패턴

式(23)의 位相角으로 부터

AOB상한 :

$$D(\phi) = [A_1^2 + A_2^2 + 2A_1A_2 \cos(\phi + 90^\circ)]^{\frac{1}{2}}$$

BOC상한 :

$$D(\phi) = [A_1^2 + A_2^2 + 2A_1A_2 \cos(\phi + 50^\circ)]^{\frac{1}{2}}$$

COD상한 :

$$D(\phi) = [A_1^2 + A_2^2 + 2A_1A_2 \cos(\phi + 90^\circ)]^{\frac{1}{2}}$$

DOA상한 :

$$D(\phi) = [A_1^2 + A_2^2 + 2A_1A_2 \cos(\phi + 130^\circ)]^{\frac{1}{2}}$$

全 方向 水平패턴 : 그림10 (b)

3) 제 3段의 水平 패턴

式(24)의 位相角으로 부터

AOB상한 :

$$D(\phi) = [A_1^2 + A_2^2 + 2A_1A_2 \cos(\phi + 90^\circ)]^{\frac{1}{2}}$$

이여 그림12에서 보듯이 인접한 素子間에 90° 쯤 一定 한 位相差가 있으므로 BOC, COD, DOA 상한의 水平 패턴式도 AOB 상한과 같다. 이러한 제 3段의 水平 패턴은 그림10 (c)와 같다.

4) 제 4段의 水平 패턴

式(25)의 位相角으로 부터

AOB 상한 :

$$D(\phi) = [A_1^2 + A_2^2 + 2A_1A_2 \cos(\phi + 90^\circ)]^{\frac{1}{2}}$$

BOC상한 :

$$D(\phi) = [A_1^2 + A_2^2 + 2A_1A_2 \cos(\phi + 140^\circ)]^{\frac{1}{2}}$$

COD상한 :

$$D(\phi) = [A_1^2 + A_2^2 + 2A_1A_2 \cos(\phi + 90^\circ)]^{\frac{1}{2}}$$

DOA상한 :

$$D(\phi) = [A_1^2 + A_2^2 + 2A_1A_2 \cos(\phi + 40^\circ)]^{\frac{1}{2}}$$

全 方向 水平 패턴 : 그림10(d)

그러므로 4段 全体에 依한 水平 패턴은 앞에서 구한 각段의 수평 패턴을 수평 방위각 별로 대수합을 취하여 그 평균치를 구하면 그림14와 같다.

한편 南東 方向에 대해서 $\theta = 0^\circ$ 方向은 3dB 감소되었으므로 $315^\circ \sim 0^\circ \sim 135^\circ$ 구간의 電界를 0.7093 배

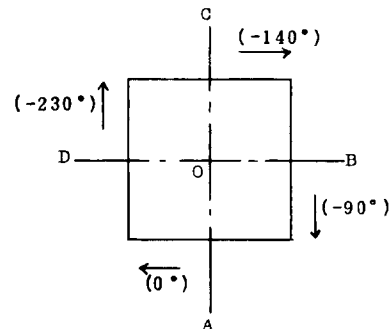


그림11. 제 2段의 素子 位相角

Fig. 11. Phase angles of each element on the second stage.

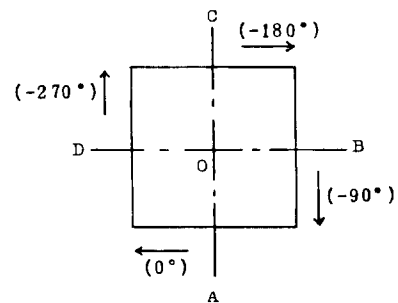


그림12. 제 3段의 素子 位相角

Fig. 12. Phase angles of each element on the third stage.

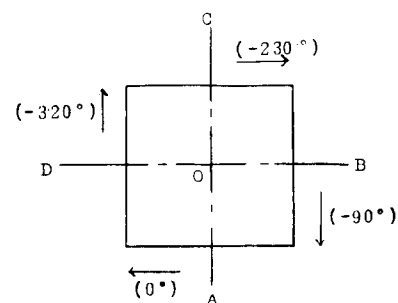


그림13. 제 4段의 素子 位相角

Fig. 13. Phase angles of each element on the fourth stage.

로 축소한 $\theta = 0^\circ$ 方向의 전계 패턴은 그림 15(a)와 같고 이때의 電力 패턴은 그림15(b)와 같다.

3. 各 給電線 길이의 決定 設計

그림 8과 같은 조작 과정을 거쳐 最終的으로 決定

된 式(21)~(25)의 位相角을 케이블의 길이로 환산하면 표 1과 같은 結果를 얻을 수 있으며 표 1에서의 給電線의 길이는 中心 주파수 199.25 MHz에 대하여 케이블의 단축율을 92%로 하여서 산출한 것이다. 이러한 給電線을 슈우퍼 게이트 안테나에 給電시키는 方法을 그림16에 나타내었다.

단, L_1 은 각 段의 junction box에서 南面 給電點에 이르는 거리이며 L_2 는 송신기의 출력단에서 각각의 junction box에 이르는 거리이다.

위의 모든 計算은 Zilog 80 micro-computer로 電算

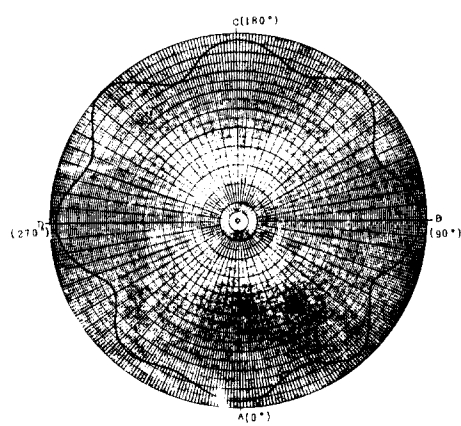


그림14. 4段 全体에 의한 水平 패턴

Fig. 14. The horizontal-plane pattern by the total stage.

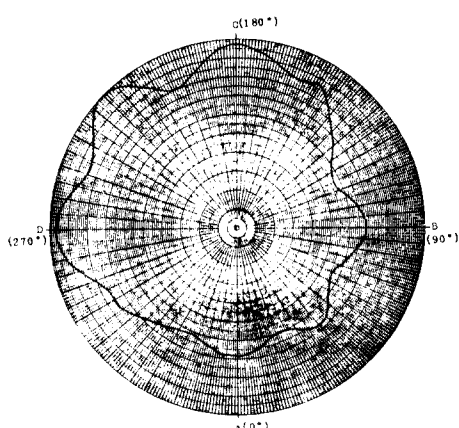
표 1. 給電線의 길이

Table 1. The lengths of feeder lines.

	급 전 선 번 호	급 전 선 길 이 [mm]
1段	1	$L_1 + 0$
	2	$L_1 + 346$
	3	$L_1 + 385$
	4	$L_1 + 731$
2段	5	$L_1 + 0$
	6	$L_1 + 346$
	7	$L_1 + 539$
	8	$L_1 + 885$
3段	9	$L_1 + 0$
	10	$L_1 + 346$
	11	$L_1 + 693$
	12	$L_1 + 1039$
4段	13	$L_1 + 0$
	14	$L_1 + 346$
	15	$L_1 + 885$
	16	$L_1 + 1231$
	17	$L_2 + 462$
	18	$L_2 + 231$
	19	$L_2 + 0$
	20	$L_2 + 77$

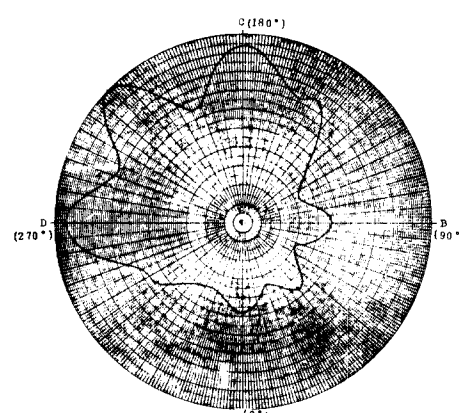
$$L_1 = 1.33\lambda$$

$$L_2 = 3.32\lambda$$



(a) $\theta = 0^\circ$ 方向의 電界 패턴

(a) The field pattern at $\theta = 0^\circ$.



(b) $\theta = 0^\circ$ 方向의 電力 패턴

(b) The power pattern at $\theta = 0^\circ$.

그림15.

Fig. 15.

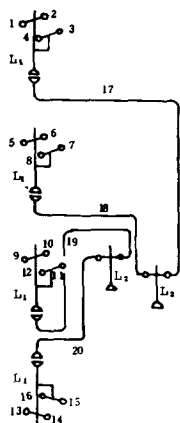


그림 16. 給電方法

Fig. 16. The method of feeding.

處理될 수 있었으며 電算 過程에 있어서 각 素子다이
풀의 길이 $L = 0.7\lambda$, 각 다이풀과 반사판 사이의 간
격은 $h = 0.28\lambda$, 다이풀의 中心과 反射板의 中心 사이
의 거리 x 는 $x = 0.17\lambda$, 반사판은 쪽 $2d = 1.04\lambda$ 그
리고 垂直으로 多段 配列한 다이풀 간의 거리 s 는
 0.53λ 의 값을 택했다.

V. 結論

本研究는 多段 슈우퍼 게인 안테나에 있어서의 給
電線의 位相 調整만으로 어떤 方向의 電界 強度를 다른
方向의 電界 強度에 比해서 약 3dB 약화시키면서
全 方向性은 最適 狀態로 維持하는 것을 考察 檢討한

것이며 4段 4面의 總 다이풀 數가 64個인 슈우퍼
게인 안테나에 대해서 電界 強度 감쇄량이 0dB 인
北西方向 범위내에서는 상태적인 最低 電界가 -1.9
dB 以上이며 電界 強度 감쇄량이 -3dB인 南東方向
의 상태적인 最低 電界는 -1.85dB 以上인 만족할만
한 結果를 얻었다.

이 設計法은 슈우퍼 게인 안테나의 給電線의 길이를
조정하는 것만으로서 그 水平 패턴을 調整할 수 있으
므로 工事費와 工期가 대폭 節減되는 利點이 있으며
水平 다이풀 슈우퍼 게인 안테나 自体의 구조물은 그
대로 두고 輻射 電力を 增強하되 同一 채널의 隣接 放
送局과의 混信을 막기 위하여 그 方向의 輻射 電力を
抑制로서 하는 경우에 그대로 利用할 수 있을 뿐만
아니라 垂直 다이풀 슈우퍼 게인 안테나의 同樣 水平
패턴 調整에 대해서도 大体로 이 方法을 應用할 수
있을 것을 確信한다.

參 考 文 獻

- [1] 遠藤敬二, 佐藤源貞, 永井淳, “アンテナ工學,”日刊工業新聞社, pp. 113~138, 1969.
- [2] 遠藤敬二, “TV FM 放送アンテナ” 日本放送出版協會, pp. 37~74, 1966.
- [3] 宮川稔, 雙ループハイチルトアンテナの 指向性” 放送技術, pp. 576~582, 1976.
- [4] 朴樞基, “안테나 電波傳播” 電波科學社, pp. 69~74, 153~160, 1981.
- [5] John D. KRAUS. *Antennas*. McGraw-Hill, pp. 300~314, 1950.